

Title

Anderson A. Borba,
PPGEEC - Programa de Pós-Graduação em Engenharia Elétrica e Computação
Universidade Presbiteriana Mackenzie
ISITEC - Instituto Superior de Inovação e Tecnologia
São Paulo, Brasil

Maurício Marengoni
Universidade Presbiteriana Mackenzie
São Paulo, Brasil

anderborba@gmail.com

Abstract

Estudo sobre equações anisotrópicas aplicadas em imagens.

Keywords: Multigrid Methods, Computational Vision, Edge detection, Sobel operators, Laplacian methods.

1 Introdução

Este artigo está baseado nas ideias proposta no artigo [1], o intuito é investigar a resolução da equação diferencial anisotrópica e propor uma resolução mais eficiente da mesma.

2 Difusão anisotrópica

E equação da anisotropia pode ser modelada por

$$\begin{cases} I_t = \text{div}(c(x, y, t)\nabla I), & \forall x, y \in \Omega \\ I(x, y, t) = g, & \forall x, y \in \partial\Omega \\ I(x, y, t_0) = I_0(x, y, 0), & \forall x, y \in \Omega \end{cases} \quad (1)$$

Onde t é um parametro de tempo, $I(x, y, 0)$ é a imagem original e $\nabla I(x, y, t)$ é o gradiente da imagem para cada tempo t , e $c(x, y, t) = g(\|\nabla I(x, y, t)\|)$ é chama de função de condutância responsável pela anisotropia da equação diferencial.

A função g é escolhida para satisfazer a difusão máxima em regiões uniformes e e que a difusão é interrompida pelas as arestas, isto é, respectivamente respectivamente $\lim_{x \rightarrow 0} g(x) = 1$ e $\lim_{x \rightarrow \infty} g(x) = 0$. No artigo [2] foram propostas duas funções

$$g_1(x, y, t) = \exp \left[- \left(\frac{x}{K} \right)^2 \right] \quad (2)$$

e

$$g_2(x, y, t) = \frac{1}{1 + \left(\frac{x}{K} \right)^2} \quad (3)$$

onde K é um limiar para a magnitude do gradiente que controla a razão da difusão e serve como um limiar suave entre os gradientes das imagens que são atribuídos ao ruído e aqueles atribuídos as bordas.

No artigo [3] foi proposta outra função de condutância denominada função duplamente pesada de Turkey

$$g_3(x) = \begin{cases} \frac{1}{2} \left[1 - \left(\frac{x}{S} \right)^2 \right]^2, & \forall x < S \\ 0, & \text{caso contrário} \end{cases} \quad (4)$$

onde $S = \sqrt{2}K$.

Definimos a função fluxo por $\phi(x) := g(x)x$ que representa a soma do fluxo de brilho qu é gerado. O fluxo máximo é gerado nos locais onde $|\nabla I| = K$.

2.1 Discretização da equação anisotrópica

A discretização de equação (1) pode ser representada pela equação algébrica discreta

$$I_{i,j}^{t+1} = a_e I_{i+1,j}^t + a_w I_{i-1,j}^t + a_c I_{i,j}^t + a_n I_{i,j+1}^t + a_s I_{i,j-1}^t, \quad (5)$$

sendo a_e, a_w, a_c, a_n , e a_s coeficientes da equação discreta de difusão anisotrópica. Cada um desses coeficientes dependem da posição do pixel e ainda do tempo em que são calculados.

A equação algébrica discreta pode ser representada pela notação usando estencil ou núcleo

$$I_{i,j}^{t+1} = \begin{bmatrix} 0 & a_n & 0 \\ a_w & a_c & a_e \\ 0 & a_s & 0 \end{bmatrix}_{3 \times 3} * I_{i,j}^t$$

2.2 Validação e verificação da acurácia para a equação isotrópica

Nesta seção serão definidos os problemas para a validação dos códigos implementados e sua respectivas acurácia.

Inicialmente vamos resolver a equação da difusão isotrópica

$$\begin{aligned} \frac{\partial I(x,y,t)}{\partial t} &= \nabla I(x,y,t). & (x,y) \in D \\ I(x,y,0) &= g(x,y) & (x,y) \in D \\ I(x,y,t) &= h(x,y,t) & (x,y) \in \partial D \end{aligned} \quad (6)$$

A discretização será realizada por diferenças finitas de primeira ordem no tempo e segunda ordem no espaço (Domínio D). Realizando o processo de discretização obteremos a seguinte equação algébrica:

$$I_{i,j}^{t+1} = I_{i+1,j}^t + I_{i-1,j}^t + I_{i,j}^t + I_{i,j+1}^t + I_{i,j-1}^t - 4I_{i,j}^t, \quad (7)$$

que pode ser representada pelo seguinte núcleo:

$$LI(x,y)^{t+1} = \begin{bmatrix} 0 & 1 & 0 \\ 1 & 4 & 1 \\ 0 & 1 & 0 \end{bmatrix}_{3 \times 3} * I(x,y)^t,$$

A validação será testada no seguinte exemplo no qual também mostraremos a acurácia:

$$\begin{aligned} \frac{\partial I(x,y,t)}{\partial t} &= \nabla I(x,y,t). & (x,y) \in [0,1] \times [0,1] \\ I(x,y,0) &= g(x,y) & (x,y) \in D \\ I(x,y,t) &= h(x,y,t) & (x,y) \in \partial D \end{aligned} \quad (8)$$

onde a condição inicial é dada por,

$$I(x,y,0) = g(x,y) = \exp(x+y). \quad (9)$$

onde as condições de contorno são dadas por,

$$\begin{aligned} h(0,y,t) &= \exp(y+2t), & 0 \leq t \leq T, & 0 \leq y \leq 1. \\ h(1,y,t) &= \exp(1+y+2t), & 0 \leq t \leq T, & 0 \leq y \leq 1. \\ h(x,0,t) &= \exp(x+2t), & 0 \leq t \leq T, & 0 \leq x \leq 1. \\ h(x,1,t) &= \exp(1+x+2t), & 0 \leq t \leq T, & 0 \leq x \leq 1. \end{aligned} \quad (10)$$

No caso destes testes conhecemos a solução exata que será usada para verificar a acurácia com auxílio da norma do máximo, isto é, $erro = \|I - \bar{I}\|$, onde I é a solução exata e \bar{I} a solução aproximada.

$$I(x,y,t) = \exp(x+y+2t). \quad (11)$$

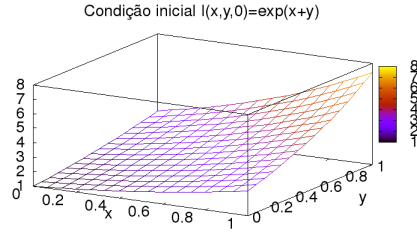


Figure 1: Condição inicial.

2.2.1 Verificação da acurácia

A tabela mostra a acurácia e a ordem de aproximação da discretização na domínio D .

n	erro	razão
16	0.002130709465	****
32	0.000500641341	4.2560
64	0.000121225177	4.1298
128	0.000029839353	4.0625
256	0.000007401560	4.0315

É destacado na 3 coluna da tabela a razão entre os consecutivos erros (norma do máximo entre a solução aproximada e a solução exata no devido tempo). Esse é o comportamento esperado para o erro de uma discretização por diferenças finitas de ordem 2 no domínio D , como é o caso da discretização realizada nesta pesquisa.

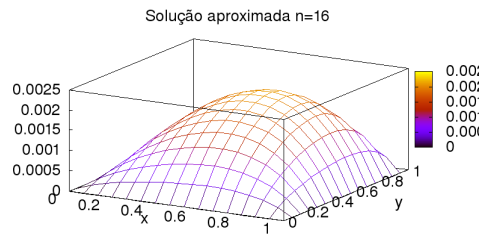


Figure 2: Erro para $n = 16$.

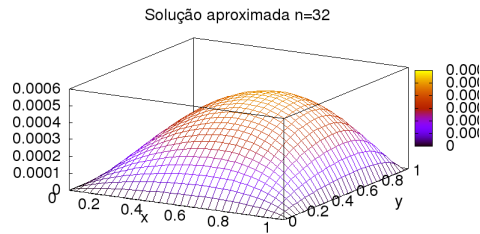


Figure 3: Erro para $n = 32$.

2.3 Discretização da equação anisotrópica

Seja a equação anisotrópica (1) e seu domínio. A discretização na variável tempo será realizada da mesma maneira como na equação isotrópica, a mudança irá ocorrer na discretização da variável bidimensional no espaço, para mais detalhes pode-se ler as referências [2] e [4].

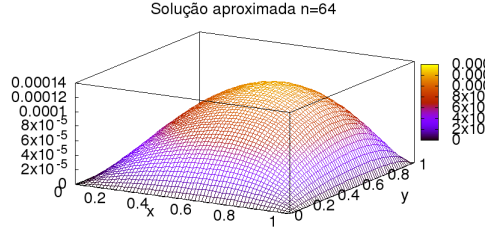


Figure 4: Erro para $n = 64$.

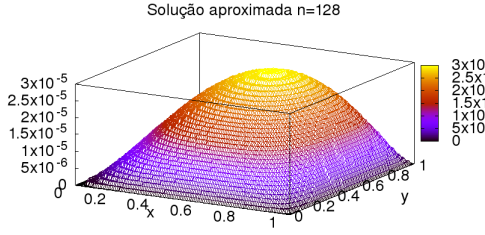


Figure 5: Erro para $n = 128$.

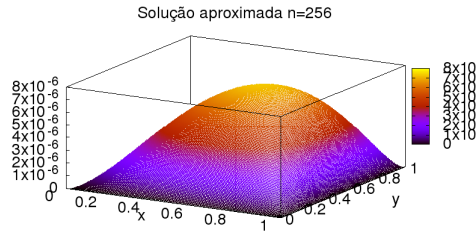


Figure 6: Erro para $n = 256$.

Discretização de primeira ordem da variável tempo

$$I_t = \left. \frac{\partial I}{\partial t} \right|_{i,j} = \frac{I_{i,j}^{t+1} - I_{i,j}^t}{\Delta t}. \quad (12)$$

Discretização do termo advectivo anisotrópico

$$\text{div}(c(x, y, t) \nabla I) = \text{div}(c \nabla I)_{i,j}^t, \quad (13)$$

para isso, usaremos aproximações de segunda ordem do polinômio de Taylor,

$$\begin{aligned} \text{div}(c \nabla I)_{i,j}^t &= \frac{1}{h^2} \left[c_{i+\frac{1}{2},j} I_{i+1,j}^t + c_{i-\frac{1}{2},j} I_{i-1,j}^t + c_{i,j+\frac{1}{2}} I_{i,j+1}^t + c_{i,j-\frac{1}{2}} I_{i,j-1}^t \right. \\ &\quad \left. - (c_{i+\frac{1}{2},j} + c_{i-\frac{1}{2},j} + c_{i,j+\frac{1}{2}} + c_{i,j-\frac{1}{2}}) I_{i,j}^t \right]. \end{aligned} \quad (14)$$

e realizando o algebrismo necessário na equação (1)

$$\left. \frac{\partial I}{\partial t} \right|_{i,j}^{t+1} = \text{div}(c \nabla I)_{i,j}^t \quad (15)$$

$$\frac{I_{i,j}^{t+1} - I_{i,j}^t}{\Delta t} = \text{div}(c \nabla I)_{i,j}^t \quad (16)$$

$$I_{i,j}^{t+1} = I_{i,j}^t + \Delta t \text{div}(c \nabla I)_{i,j}^t \quad (17)$$

é finalizado a discretização da mesma, tal que podemos representa-lá como a equação algébrica discreta

$$I_{i,j}^{t+1} = a_e I_{i+1,j}^t + a_w I_{i-1,j}^t + a_c I_{i,j}^t + a_n I_{i,j+1}^t + a_s I_{i,j-1}^t, \quad (18)$$

sendo

$$\begin{aligned} a_e &= c_{i+\frac{1}{2},j}, \\ a_w &= c_{i-\frac{1}{2},j}, \\ a_n &= c_{i,j+\frac{1}{2}}, \\ a_s &= c_{i,j-\frac{1}{2}}, \\ a_c &= 1 - \Delta_t(a_e + a_w + a_n + a_s). \end{aligned} \quad (19)$$

A equação algébrica discreta pode ser representada pela notação usando estencil ou núcleo

$$I_{i,j}^{t+1} = \begin{bmatrix} 0 & a_n & 0 \\ a_w & a_c & a_e \\ 0 & a_s & 0 \end{bmatrix}_{3 \times 3} * I_{i,j}^t.$$

2.3.1 Validação e verificação da acurácia para a equação anisotrópica

Para validar e verificar a acurácia da implementação e discretização da equação de difusão anisotrópica é necessário testar nesse momento somente a discretização na variável espacial, pois o *setup* da evolução no tempo é o mesmo do algoritmo anterior. Para isso, usaremos o exemplo 1 do artigo [5] que trata da equação governante para estado estacionário da equação do calor em meios anisotrópicos.

2.4 Características das funções de condutância

3 Conclusão

References

- [1] Chourmouziou Tsotsios and Maria Petrou. On the choice of the parameters for anisotropic diffusion in image processing. *Pattern Recognition*, 46:1369–1381, 2013.
- [2] Pietro Perona and Jitendra Malik. Scale-space and edge detection using anisotropic diffusion. *IEEE Transactions on pattern analysis and machine intelligence*, 12(7):629–639, 1990.
- [3] Michael J Black, Guillermo Sapiro, David H Marimont, and David Heeger. Robust anisotropic diffusion. *IEEE Transactions on image processing*, 7(3):421–432, 1998.
- [4] Donghui Chen, Scott MacLachlan, and M Kilmer. Iterative parameter-choice and multi-grid methods for anisotropic diffusion denoising. *SIAM Journal on Scientific Computing*, 33(5):2972–2994, 2011.
- [5] Hui Wang, Q-H Qin, and Yi Lan Kang. A new meshless method for steady-state heat conduction problems in anisotropic and inhomogeneous media. *Archive of Applied Mechanics*, 74(8):563–579, 2005.